

## توسعه مدل‌های تحلیل پوششی داده‌های شبکه‌ای باز در شرایط عدم قطعیت

وحید اتحادی<sup>۱</sup>، حسن حسینی نسب<sup>۲\*</sup>، محمدباقر فخرزاد<sup>۳</sup>، حسن خادمی زارع<sup>۴</sup>

۱- دانشجوی دکتری، دانشگاه یزد، گروه مهندسی صنایع، یزد، ایران

۲- استاد، دانشگاه یزد، گروه مهندسی صنایع، یزد، ایران

۳- دانشیار، دانشگاه یزد، گروه مهندسی صنایع، یزد، ایران

۴- استاد، دانشگاه یزد، گروه مهندسی صنایع، یزد، ایران

رسید مقاله: ۶ مرداد ۱۳۹۹

پذیرش مقاله: ۲۲ فروردین ۱۴۰۰

### چکیده

ارزیابی کارایی یک موضوع بسیار مهم و کلیدی در شرایط رقابتی می‌باشد. این در حالی است که سازمان‌ها و شرکت‌ها با عدم قطعیت‌های مختلفی مواجه هستند و این موضوع، بررسی کارایی آنها را به شدت سخت و پیچیده می‌کند. در این تحقیق، مدل‌های تحلیل پوششی داده‌های شبکه‌ای باز، برای سه حالت غیرقطعی شامل: خروجی‌های غیرقطعی، ورودی‌های غیرقطعی و خروجی هم‌زمان غیرقطعی، توسعه داده شده‌است. مدل‌های ارائه شده برای ارزیابی کارایی ۱۰ فرآیند دو مرحله‌ای فروشنده و خریدار، در یک زنجیره تامین مورد استفاده قرار گرفته و تاثیر عدم قطعیت داده‌ها، مورد بررسی قرار گرفته‌است. نتایج به دست آمده از مدل‌های توسعه داده شده، با نتایج مدل‌های شبکه سنتی DEA، مقایسه شده‌است. اعتبار و صحت مدل‌های توسعه یافته نیز مورد بررسی قرار گرفته‌است. نتایج نشان می‌دهد که قابلیت اطمینان مدل‌های پیشنهادی از مدل سنتی شبکه DEA، بیشتر است. همچنین با بررسی کارایی واحدهای تصمیم‌گیری در شرایط مختلف عدم قطعیت و نوسانات داده‌ها، مشخص گردید، هرچقدر دامنه این نوسان بیشتر باشد، امتیاز کارایی واحدهای مختلف نیز کاهش پیدا می‌کند که با واقعیت همخوانی دارد.

**کلمات کلیدی:** تحلیل پوششی داده‌های شبکه‌ای باز، بهینه‌سازی استوار، کارایی، زنجیره تامین.

### ۱ مقدمه

مدل‌های سنتی تحلیل پوششی داده‌ها، سیستم‌ها را یک مجموعه بسته در نظر گرفته و فرآیندهای داخلی سیستم و روابط بین آنها را نادیده می‌گیرد. این دیدگاه، معروف به دیدگاه جعبه سیاه است و بسیاری از اطلاعات ارزشمند

\* عهده‌دار مکاتبات

آدرس الکترونیکی: hhn@yazd.ac.ir

را در مورد واحدهای تصمیم‌گیری، نادیده و اندازه‌گیری کارایی را صرفاً به ورودی‌ها و خروجی‌های نهایی محدود می‌کند [۱-۳].

در واقع مدل‌های سنتی تحلیل پوششی داده‌ها، در محاسبه کارایی سیستم‌های پیچیده و فرآیندهایی که متشکل از چند مرحله‌اند، مشکل داشته و نمی‌تواند کارایی هر یک از فرآیندهای داخلی را محاسبه کند. در دنیای واقعی نمونه‌های زیادی وجود دارد، که بخشی از خروجی‌های هر مرحله، به عنوان خروجی‌های نهایی، تحویل مشتری، و بخشی دیگر به عنوان ورودی‌ها، وارد مرحله بعد می‌گردد [۳].

در مدل‌های تحلیل پوششی داده‌های شبکه‌ای باز، هر مرحله به صورت یک سیستم باز است و ورودی‌هایی از بیرون و مرحله قبل می‌تواند داشته باشد [۴]. مشهورترین نظریه‌های مطرح در حوزه تحلیل پوششی داده‌های شبکه‌ای مربوط به مدل‌های کائو [۵]، کوک و همکاران [۶]، چن و یال [۳] و لی و همکاران [۷] است.

در مدل‌های سنتی DEA، چنانچه واحد تصمیم‌گیرنده دارای فرآیندهای داخلی باشد، کارایی هر یک از فرآیندهای داخلی و فرآیند کل، به صورت مستقل محاسبه می‌گردد. در حالی که در مدل‌های شبکه‌ای DEA، محدودیت‌های فرآیندهای داخلی، به محدودیت فرآیند کل، اضافه می‌گردد، در نتیجه نمره کارایی کل، کوچک‌تر از نمره کارایی فرآیندهای داخلی است. لذا مدل‌های شبکه‌ای به طور مناسب‌تری رابطه میان کارایی کل و کارایی فرآیندهای داخلی را توصیف می‌کند [۷].

از طرف دیگر، در دنیای واقعی، عدم قطعیت داده‌ها، امری اجتناب‌ناپذیر است. گاهی اوقات آشفتگی بسیار کوچک در داده‌های مساله منجر به جواب‌های غیربهبوده و یا غیرقابل قبول می‌گردد. این بدان معناست که در نظر گرفتن داده‌های قطعی، در مدل‌های تحلیل پوششی داده‌ها، ممکن است نتایج نادرستی از کارایی، به تصمیم‌گیرندگان، ارائه دهد و یک تغییر کوچک در داده‌های مساله، وضعیت واحدهای تصمیم‌گیری را از حالت کارا به ناکارا و بالعکس تغییر دهد [۸].

در حوزه عدم قطعیت داده‌های DEA، رویکردهای تصادفی [۸]، فاصله‌ای [۹] و فازی [۱۰]، نیز مورد بحث قرار گرفته است. در رویکرد تصادفی، باید تابع توزیع برای داده‌های غیرقطعی، انتخاب گردد، که انتخاب مناسب یک توزیع بسیار دشوار خواهد بود و انتخاب نادرست منجر به نتایج اشتباه می‌گردد [۱۱]. مشکل رویکرد فاصله‌ای، دشواری در تخمین درست، مرزهای بالا و پایین کارایی نسبی واحدهای تصمیم‌گیری است. وانگ و همکارانش [۹]، مشکلات برخی از مدل‌های DEA فازی را، مورد بررسی قرار داده‌اند و به این نتیجه رسیدند که در بعضی موارد، پیچیدگی رویکرد فازی، به صورت نمایی رشد می‌کند. بهینه‌سازی استوار، به عنوان یک ابزار جدید می‌تواند مشکلات بیان شده در رویکردهای بهینه‌سازی در حالت عدم قطعیت را برطرف کند. این روش، برای اولین بار توسط سویستر ارایه گردید [۱۲]. سپس توسط بن تال و نمیروسکی [۱۳] و برتیسماس و سیم [۱۴] توسعه داده شد.

تاکنون تحقیقات زیادی در زمینه بهینه‌سازی استوار صورت گرفته [۱۳، ۱۴]، اما با توجه به این که در بهینه‌سازی استوار، برای متغیرهای موجود در محدودیت‌های تساوی، نمی‌توان عدم قطعیت را لحاظ نمود، در نظر گرفتن عدم قطعیت در داده‌های ورودی و خروجی به طور هم‌زمان بسیار دشوار می‌باشد. با توجه به اهمیت

موضوع عدم قطعیت در DEA، در این مقاله یک رویکرد جدید ارائه می‌گردد که بر مبنای تحلیل پوششی داده‌های شبکه‌ای باز است. در این بررسی، سه حالت ورودی غیرقطعی، خروجی غیرقطعی و ورودی و خروجی هم‌زمان غیر قطعی، مورد مطالعه قرار گرفته است. مدل‌های استوار مربوط به هر سه حالت، توسعه داده شده و مثال عددی ذکر گردیده است.

این مقاله در شش بخش سازماندهی شده است. بررسی ادبیات در بخش ۲، ارائه شده است. مدل ریاضی تحلیل پوششی داده‌های شبکه‌ای باز (Opened-NetDEA) و مدل‌های پیشنهادی استوار تحلیل پوششی داده‌های شبکه‌ای باز، به ترتیب در بخش ۳ و ۴، توسعه داده شده است. مطالعه موردی شامل ۱۰ فرآیند دو مرحله‌ای، فروشنده و خریدار در زنجیره تامین، در بخش ۵، ارائه و نتایج حاصل از مدل پایه‌ای و مدل‌های پیشنهادی مطرح و مقایسه گردیده است. در نهایت نتیجه‌گیری‌ها، در بخش ۶ ارائه شده است.

## ۲ پیشینه پژوهش

تحقیقات زیادی در زمینه ارزیابی کارایی و استفاده از رویکرد تحلیل پوششی داده‌ها، انجام شده است. در ادامه تحقیقات مرتبط با این مقاله بررسی می‌گردد. پارک در سال ۲۰۰۹، واحدهای تصمیم‌گیری دارای چند مرحله بدون محصولات میانی را مطالعه نمود. مدل ارائه شده، برای اندازه‌گیری عملکرد ۲۰ واحد عملیات سرویس کابل‌های تلویزیون در کره جنوبی در سال‌های ۱۹۹۹ تا ۲۰۰۱ مورد استفاده قرار گرفت. نتایج نشان می‌دهد که شرکت‌ها با پشتیبانی بالا بهترین کارایی را در بین سایر شرکت‌ها داشته‌اند [۱۵]. تیسوتسو و گتو در سال ۲۰۰۹، مدل SBM وزن‌دار را برای بررسی عملکرد ۹۰ شرکت توزیع برق، در ایالات متحده، مورد استفاده قرار دادند. مراحل در نظر گرفته شده شامل تولید، انتقال، توزیع، فروش، و اداره عمومی می‌باشد و وزن آن‌ها براساس هزینه‌های سهام در نظر گرفته شده است. نتایج این تحقیق بیانگر کارایی روش SBM در رتبه‌بندی شرکت‌ها، می‌باشد. [۱۶]. وی و همکاران در سال ۲۰۱۱، ساختار پایه چند مرحله‌ای بدون محصولات میانی، را مورد بحث قرار دادند. هدف مدل آن‌ها حداقل کردن مجموع پارامترهای فاصله‌ای مرتبط با تمام مراحل، از هر دو طرف ورودی و خروجی است. آن‌ها نشان دادند که واحد تصمیم‌گیری کارآمد است، اگر و فقط اگر تمام فرآیندها، زمانی که به صورت مستقل اندازه‌گیری می‌گردد، کارآمد باشد [۱۷]. لی و جانسون در سال ۲۰۱۲، مدل ارتباطی ارائه شده توسط کائو در سال ۲۰۰۹، را برای ساختارهای شبکه عمومی، با فرض بازده به مقیاس متغیر، برای بررسی عملکرد ۱۵ شرکت هواپیمایی ایالات متحده، مورد استفاده قرار دادند. نتایج نشان می‌دهد که روش پیشنهادی نسبت به مدل‌های سنتی تحلیل پوششی داده‌ها، کارایی بیشتری دارد [۷]. نوری و همکارانش در سال ۲۰۱۳، پنج فرایند/مرحله را در یک واحد تصمیم‌گیری تولیدی مشخص و از این مدل برای اندازه‌گیری بهره‌وری ۱۵ واحد صنعتی در ایران، استفاده نمودند [۱۵]. سیستم تولید ترکیبی از چهار فرایند، طراحی ظرفیت، تولید تقاضا، عملیات و مصرف تقاضا، طراحی شده است، کائو در سال ۲۰۱۴، یک فرایند مجازی را به هر یک از فرآیندهای اصلی به صورت موازی متصل نمود، تا ورودی‌ها و خروجی‌های نهایی را از طریق این فرآیند مجازی منتقل

سازد. کارایی واحد تصمیم‌گیری، از کارایی هر مرحله به دست می‌آید، که هر مرحله دارای ساختار موازی متشکل از فرآیندهای اصلی و مجازی است [۵].

در دنیای واقعی، داده‌ها دارای عدم قطعیت می‌باشد. بنابراین، استفاده از مدل‌های DEA سنتی ممکن است منجر به نتایج نادرست گردد. سجادی و عمرانی در سال ۲۰۱۱، مدل‌های استوار DEA را، با فرض عدم قطعیت در داده‌های خروجی، برای ارزیابی عملکرد شرکت‌های توزیع برق پیشنهاد نمودند. نتایج نشان می‌دهد که با افزایش عدم قطعیت، کارایی واحد‌ها به شکل واقعی‌تر در مدل نشان داده می‌شود [۱۸]. شکوهی و همکارانش در سال ۲۰۱۱، مدل‌های استوار DEA را، با فرض عدم قطعیت در داده‌های ورودی و خروجی، توسعه دادند نتایج پیاده‌سازی این مدل نشان می‌دهد که هرچه تعداد پارامترهای غیرقطعی افزایش پیدا کند، پیچیدگی حل مدل ریاضی DEA، بالاتر می‌رود [۱۹]. وانگ و وی، مدل‌های استوار CCR، را به دو صورت ورودی-محور و خروجی-محور، براساس رویکرد بنتال و نیمروفسکی توسعه دادند. نتایج حاکی از کارایی روش بهینه‌سازی استوار در مواجهه با شرایط غیرقطعی می‌باشد [۹]. عمرانی و همکاران در سال ۲۰۱۷، کارایی زنجیره‌تأمین را با تحلیل پوششی داده‌ها غیرقطعی ارزیابی کردند. در این تحقیق که ورودی‌ها غیرقطعی می‌باشد، از روش سناریو محور و تبدیل به مدل استوار استفاده شده است. نتایج تحلیل‌ها نشان‌دهنده این موضوع است که مدل استوار تحت سناریوها مختلف، کارایی خود را به خوبی نشان می‌دهد [۲۰]. زو و همکاران در سال ۲۰۱۷، یک مدل ریاضی چندهدفه بر اساس تحلیل پوششی داده‌ها توسعه داده‌اند. در این مدل خروجی‌ها دارای عدم قطعیت بوده و از رویکرد فازی برای مواجهه با آن استفاده شده است. همچنین یک طبقه‌بندی از جواب‌های بهینه این مدل ارائه شده که قادر است چندین رتبه کارایی برای هر یک از واحدها ارائه دهد. نتایج نهایی گویای این موضوع است که طراحی روش تحلیل پوششی داده‌ها می‌تواند حالات مختلف کارایی واحدها را بررسی و مناسب‌ترین آنها را گزارش کند [۲۱]. لیو و لو در سال ۲۰۱۸، یک مدل تحلیل پوششی داده‌ها با ورودی و خروجی غیرقطعی ارائه کردند که در آن عدم قطعیت به صورت بازه‌ای و از رویکرد استوار بهره برده شده است. این مدل به منظور ارزیابی کارایی واحدهای تولیدی مختلف طراحی شده و شاخص‌های زیست محیطی و اجتماعی نیز در آن تاثیرگذار است. نتایج حاصل شده گویای آن است که روش مورد نظر می‌تواند حساسیت مربوط به عدم قطعیت را به خوبی کنترل کند [۲۲]. آقای و رعایت پناه در سال ۲۰۱۹ ارزیابی کارایی شعب بانک را به کمک رویکرد بهینه‌سازی استوار در تحلیل پوششی داده‌ها انجام داده‌اند. در این تحقیق هم ورودی‌ها و هم خروجی‌ها به صورت غیرقطعی و بازه‌ای در نظر گرفته شده و یک مدل استوار بر اساس روش برتسیماس و سیم توسعه داده شده است. نتایج نشان می‌دهد که نمره کارایی مالی بانک‌ها با افزایش عدم قطعیت در داده‌ها بیشتر می‌شود [۲۳]. شکوری و همکاران در سال ۲۰۱۹، دو مدل تصادفی دو مرحله‌ای تحلیل پوششی داده‌های شبکه‌ای بسته، برای برآورد کارایی DMUها تحت عدم اطمینان بر اساس استاکلبرگ (رهبر- پیرو) و مدل‌های تئوری بازی متمرکز را ارائه نمودند. کاربرد مدل‌های پیشنهادی در زمینه تجزیه و تحلیل عملکرد شعب بانک نشان داده شده است [۲۴]. هوو و همکاران در سال ۲۰۱۹، واحد‌های تولیدی مختلف را بر اساس میزان هدر رفت آب مصرفی رتبه‌بندی کردند. در این تحقیق هم ورودی‌ها و هم خروجی‌ها به صورت قطعی در نظر گرفته شده و یک مدل مبتنی بر کمکی برای

ارزیابی کارایی واحدهای تولیدی توسعه داده شده است. نتایج نشان می‌دهد که شاخص‌های زیست محیطی می‌تواند تاثیر به سزایی در کارایی واحدهای تولیدی داشته باشد [۲۵]. کاون و همکاران در سال ۲۰۲۰، به ارزیابی واحدهای یک زنجیره تامین حلقه بسته در شرایط عدم قطعیت پرداخته‌اند. آنها از روش تئوری بازی‌ها و نیز تحلیل پوششی داده‌ها، برای این منظور استفاده کرده‌اند و با توجه به شرایط عدم قطعیت، ورودی و خروجی را به صورت اعداد فازی در نظر گرفته‌اند. نتایج بیان می‌کند که عدم قطعیت تاثیر به سزایی در شاخص‌های اقتصادی زنجیره تامین دارد [۲۶]. جامخانه و همکاران در سال ۱۳۹۸، با استفاده از رویکرد سه مرحله‌ای تحلیل پوششی داده‌های شبکه‌ای باز، اطلاعات جمع‌آوری شده از ۱۶ شرکت برق که شامل سه بخش تولید، انتقال و توزیع، می‌باشد را برای سال ۱۳۹۶، مورد تجزیه و تحلیل قرار دادند. در این مطالعه داده‌ها قطعی در نظر گرفته شده است [۲۷]. امیرتیموری و همکاران در سال ۱۳۹۸، یک روش کارایی سنجی برای ارزیابی عملکرد شرکت‌های گاز استانی با حضور شاخص‌های نامطلوب ارائه نمودند [۲۸]. پیکانی و همکاران در سال ۲۰۲۰، انواع مدل‌های بهینه‌سازی استوار در زمینه ارزیابی کارایی تولید را مرور کرده‌اند. آنها در مجموع ۳۷ تحقیق را مرور کرده و نشان داده‌اند که تحلیل پوششی داده‌های استوار یک ابزار کارآمد و مفید در اندازه‌گیری کارایی واحدهای تصمیم‌گیری در شرایط عدم قطعیت به حساب می‌آید [۱۱]. دی و همکاران در سال ۲۰۲۰ زنجیره‌های تامین ناب و پایدار را بر اساس عملکرد آنها رتبه‌بندی کرده‌اند. ویژگی اصلی این تحقیق در آن است که زنجیره‌هایی مورد بررسی قرار گرفته است که مبتنی بر شرکت‌ها و واحدهای اقتصادی کوچک هستند. با توجه به این که شاخص‌های مورد استفاده تماما بر اساس رفتار اقتصادی و زیست محیطی است، لذا تمامی داده‌ها به صورت قطعی در نظر گرفته شده است. نتایج حاصل شده نشان داده است که ترکیب ناب و پایداری می‌تواند به شرکت‌های کوچک در رشد و توسعه و بهبود عملکرد آنها کمک شایانی بکند [۲۹]. آلوارز و همکاران در سال ۲۰۲۰، مدل تحلیل پوششی داده‌های شبکه‌ای با فرض خروجی‌های غیرقطعی ارائه و مجموعه خرده فروشان یک زنجیره تامین را بر اساس چرخه عمر محصول و حجم فروش آنها رتبه‌بندی نمودند. نتایج پیاده‌سازی این روش نشان می‌دهد که لحاظ کردن چرخه عمر محصول در DEA، می‌تواند زنجیره‌های تامین را از نظر پایداری، ارتقا بخشد [۳۰]. در جدول ۱ به مرور مهم‌ترین تحقیقات این حوزه پرداخته شده است.

جدول ۱. خلاصه ادبیات موضوع

محقق	سال	ارزیابی کارایی			نوع تحلیلی پوششی			نوع داده‌ها			شیوه مواجهه با عدم قطعیت		
		پایه تولید	کارخانجات	کارایی زنجیره تامین	کارخانه کوچک	شبکه‌ای	داده‌ها قطعی	ورودی غیرقطعی	خروجی غیرقطعی	تجزیه و تحلیل	فازی	اجتماعی	استوار
پارک	۲۰۰۹	✓			✓				✓				



می دهد که اندازه گیری دقیق خروجی ها میسر نمی باشد و اندازه واقعی خروجی ها نسبت به مقادیر اندازه گیری شده اختلاف دارد.

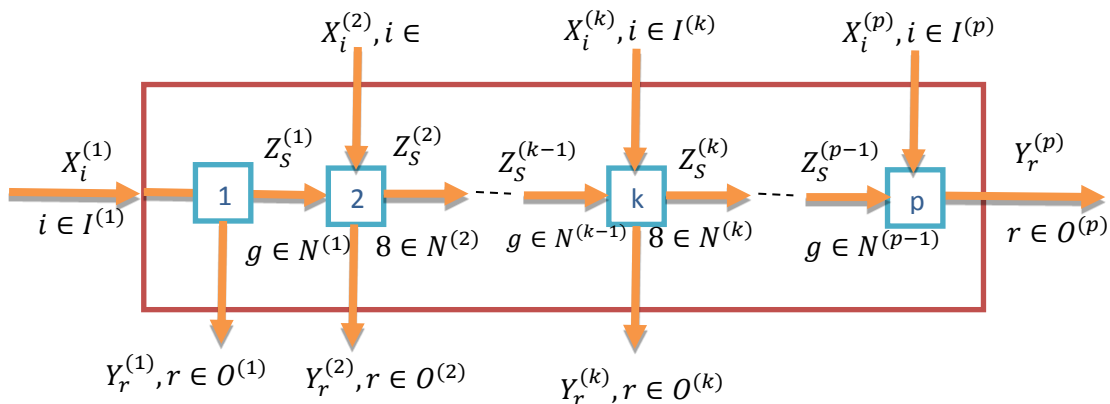
۲- توسعه مدل استوار تحلیل پوششی داده های شبکه ای باز با ورودی های غیرقطعی، این مدل برای حالتی که داده های ورودی DMU ها دارای نوسان می باشد و اندازه گیری دقیق آن ها میسر نیست، به کار می رود.

۳- توسعه مدل استوار تحلیل پوششی داده های شبکه ای باز با ورودی ها و خروجی های غیرقطعی، جهت اندازه گیری کارایی واحدهای تصمیم گیری در صورت وجود عدم قطعیت هم زمان در ورودی ها و خروجی ها ارایه گردیده است.

۴- مقایسه نتایج مدل های توسعه داده شده با مدل های پایه.

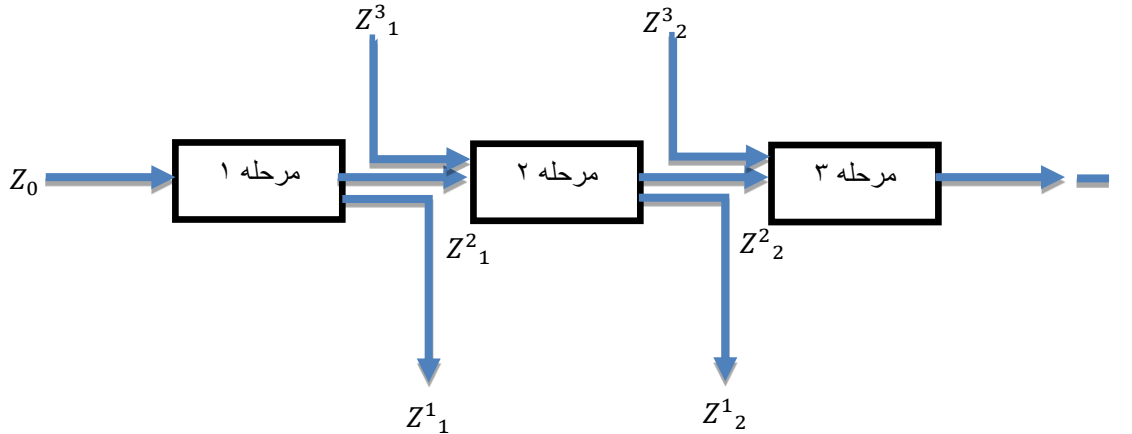
### ۳ مدل پایه ای تحلیل پوششی داده های شبکه ای باز

برای ارزیابی کارایی واحدهای تصمیم گیری (به عنوان مثال شبکه های زنجیره تامین)، محدود کردن محاسبات فقط به ورودی های اولیه و خروجی های نهایی و صرف نظر کردن از تعاملات داخلی طی مراحل مختلف DMU ها، اقدام نادرستی خواهد بود، زیرا ممکن است منجر به نتایج اشتباه گردد. در شبکه باز، هر مرحله به صورت یک سیستم باز است و ورودی هایی از بیرون و مرحله قبل، می تواند داشته باشد. این شبکه می تواند به صورت سری یا موازی وجود داشته باشد. ساختار سری به واحدهای تصمیم گیری اشاره دارد، که از تعدادی مرحله/فرآیند متصل و پشت سرم هم تشکیل شده است. و در آن هر فرآیند ورودی های مستقل و محصولات میانی تولید شده توسط فرآیند قبلی را مصرف و خروجی های مستقل و محصولات میانی را برای فرآیند بعدی تولید می کند. شکل ۱ یک نمونه از سیستم سری را نشان می دهد که در آن  $X_i^{(1)}, X_i^{(2)}, \dots, X_i^{(p)}$  نشان دهنده ورودی هر یک از مراحل ۱ تا  $p$  می باشد و  $Z_s^{(1)}, Z_s^{(2)}, \dots, Z_s^{(p-1)}$  نشانگر خروجی هر یک از مراحل ۱ تا  $p-1$  و ورودی هر یک از مراحل ۲ تا  $p$  می باشد. در نهایت  $Y_r^{(p)}$  بیانگر خروجی نهایی هر یک از واحدهای تصمیم گیری می باشد.



شکل ۱. ساختار سری [۲۸]

ساختارهای سری می‌توانند شامل تعداد زیادی مراحل پشت سرهم باشند، ساختار شبکه‌ای باز  $P$ -مرحله‌ای توسعه‌ای از مدل‌های سری می‌باشد. نمونه این ساختار در شکل ۲، قابل ملاحظه می‌باشد. بردار ورودی برای مرحله ۱، با  $Z_0$  نشان داده شده است. بردارهای خروجی از مراحل  $P$ ، به دو فرم  $Z_p^1$  و  $Z_p^2$  مشاهده می‌گردد، که خروجی  $Z_p^1$  سیستم را ترک می‌کند و خروجی  $Z_p^2$  به عنوان ورودی وارد مرحله  $p+1$  می‌شود.



شکل ۲. مدل شبکه‌ای باز سری

متغیرهای تصمیم جهت فرمول‌بندی مدل شبکه‌ای باز سری شامل موارد زیر می‌باشد.

$I$  امین بردار خروجی مرحله  $P$  واحد تصمیم‌گیری  $j$  که در این مرحله سیستم را ترک می‌کند و به عنوان ورودی وارد

$Z_{pr}^{j1}$  :  
مرحله بعد نمی‌شود ( $r = 1, \dots, R_p$ )

$Z_{pk}^{j2}$  :  
 $k$  امین بردار خروجی مرحله  $P$  واحد تصمیم‌گیری  $j$  که به عنوان ورودی وارد مرحله  $p+1$  می‌شود

$Z_{pi}^{j2}$  :  
 $i$  امین بردار ورودی مرحله  $p+1$  واحد تصمیم‌گیری  $j$

$u_{pr}$  :  
وزن‌ها برای متغیر  $Z_{pr}^{j1}$

$D_{pk}$  :  
وزن‌ها برای متغیر  $Z_{pk}^{j2}$

$v_{pi}$  :  
وزن‌ها برای متغیر  $Z_{pi}^{j2}$

با بهره‌گیری از متغیرهای تصمیم فوق، فرم خطی تحلیل پوششی داده‌های شبکه‌ای باز به صورت زیر می‌باشد [۶].

$$\text{Max} \quad \sum_{p=1}^P \left( \sum_{r=1}^{R_p} u_{pr} z_{pr}^{j1} + \sum_{k=1}^{S_p} D_{pk} z_{pk}^{j2} \right),$$

$$\text{s.t.} \quad \left\{ \sum_{i=1}^{I_0} v_{oi} z_{oi}^j + \sum_{p=2}^P \left( \sum_{k=1}^{S_{p-1}} D_{p-k} z_{p-k}^{j2} + \sum_{i=1}^{I_p} v_{p-i} z_{p-i}^{j2} \right) \right\} = 1,$$

$$\sum_{r=1}^{R_1} u_{1r} z_{1r}^{j1} + \sum_{k=1}^{S_1} D_{1k} z_{1k}^{j2} \leq \sum_{i=1}^{I_0} v_{oi} z_{oi}^j,$$

$$\sum_{r=1}^{R_p} u_{pr} z_{pr}^{j1} + \sum_{k=1}^{S_p} D_{pk} z_{pk}^{j2} \leq \sum_{k=1}^{S_{p-1}} D_{p-k} z_{p-k}^{j2} + \sum_{i=1}^{I_p} v_{p-i} z_{p-i}^{j2} \quad \forall j,$$

$$u_{pr}, D_{pk}, v_{pi}, v_{oi} > 0.$$

(۱)

در مدل‌های مضربی تحلیل پوششی داده‌ها، اگر تابع هدف، فقط حدکثر نمودن خروجی‌ها باشد، مدل DEA، ورودی-محور نامیده می‌شود. لذا مدل شماره (۱) یک مدل تحلیل پوششی داده‌های شبکه‌ای باز ورودی-محور است. محدودیت اول ورودی را در سطحی ثابت نگه می‌دارد. محدودیت‌های دوم و سوم مدل (۱) بیان می‌کند که برای همه واحدهای تصمیم‌گیری باید مجموع خروجی‌ها، کمتر یا مساوی ورودی‌ها باشد. محدودیت دوم به فرآیند اول و محدودیت سوم به فرآیندهای بعدی اشاره دارد.

#### ۴ رویکرد بهینه‌سازی استوار در تحلیل پوششی داده‌های شبکه‌ای باز سری

بهینه‌سازی استوار یکی از روش‌های جدید برنامه‌ریزی ریاضی است، که اخیراً توجه محققان زیادی را به خود جلب کرده است. این روش برای مدل‌سازی اثر نویز در داده‌ها، یافتن یک جواب شدنی برای مسایل برنامه‌ریزی ریاضی و جایگزینی برای برنامه‌ریزی تصادفی و تحلیل حساسیت به شمار می‌رود. مدل‌های شناخته شده در حوزه بهینه‌سازی استوار، سویستر [۱۲]، بنتال و نیمروفسکی [۱۳] و برتیسماس و سیم [۱۴] است که هر کدام دارای نقاط ضعف و قوت می‌باشد. مشکل اصلی روش سویستر این است که برای تضمین استوار بودن جواب، مقدار زیادی از تابع هدف را در نظر نمی‌گیرد. مدل بنتال دارای این مزیت است که سطح اطمینان را می‌توان با توجه به نظر تصمیم‌گیرنده مشخص نمود ولی یکی از مهم‌ترین ضعف‌های این روش، تغییر درجه مساله مورد بررسی است. در مدل برتیسماس و سیم، علاوه بر این که سطح اطمینان در محدودیت‌ها، قابل تعیین می‌باشد، کلاس مدل برنامه‌ریزی نیز حفظ می‌گردد. لذا در این مقاله، جهت استوار نمودن مدل از روش برتیسماس و سیم [۱۴]، استفاده شده است.

به منظور ارایه روش بهینه‌سازی استوار برتیسماس و سیم، مساله بهینه‌سازی خطی زیر را در نظر بگیرید:

$$\begin{aligned} & \text{Max} \quad cx \\ & \text{s.t.} \quad \sum_j \tilde{\alpha}_{ij} x \leq b_i, \quad \forall i, \\ & \quad \quad x \geq 0. \end{aligned} \quad (2)$$

در مساله بالا، پارامترهای  $\tilde{\alpha}_{ij}$  (ضرایب فنی محدودیت‌ها)، دارای عدم قطعیت می‌باشد. فرض می‌گردد، عدم قطعیت در محدودیت‌ها از یکدیگر مستقل است. پارامتر دارای عدم قطعیت به صورت زیر تعریف می‌گردد:

$$\tilde{\alpha}_{ij} = \alpha_{ij} + \xi_{ij} \hat{\alpha}_{ij} \quad (3)$$

در این تساوی،  $\alpha_{ij}$ ، مقادیر اسمی و  $\hat{\alpha}_{ij}$ ، درصد مشخص شده‌ای از مقدار اسمی (به عنوان مثال ۱۰ درصد  $\alpha_{ij}$  است در واقع بیان‌کننده سطح عدم اطمینان می‌باشد) پارامترهای دارای عدم قطعیت  $\tilde{\alpha}_{ij}$ ، است.  $\xi_{ij}$ ، بیانگر متغیرهای تصادفی مستقلی است که به صورت یکنواخت بین یک و منفی یک توزیع گردیده است.

بر این اساس، فرم استوار مدل فوق با رویکرد برتیسماس و سیم به صورت زیر می‌باشد [۱۴]:

$$\begin{aligned}
 & \text{Max} \quad cx \\
 & \text{s.t.} \quad \sum_j \tilde{\alpha}_{ij} x_j + \sum_j p_{ij} + z_i \Gamma \leq b_i \quad \forall i \\
 & z_i + p_{ij} \geq \hat{\alpha}_{ij} x_j \quad \forall j \\
 & z_i, p_{ij}, x_j \geq 0.
 \end{aligned} \tag{4}$$

در این رابطه  $\Gamma$ ، سطح محافظه‌کاری، در هر محدودیت را تعیین می‌کند. چنانچه  $\Gamma = 0$ ، هیچ‌گونه محافظه‌کاری در مقابل انحراف در داده‌ها، وجود ندارد و چنانچه  $\Gamma$ ، برابر تعداد داده‌های نامطمئن سیستم باشد، بیشترین سطح محافظه‌کاری در نظر گرفته شده است. بر اساس روابط فوق، در این مقاله توسعه مدل‌های استوار تحلیل پوششی داده‌های شبکه‌ای باز در سه حالت، خروجی غیرقطعی، ورودی غیرقطعی و ورودی و خروجی هم‌زمان غیر قطعی در بخش‌های زیر ارائه گردیده است.

#### ۴-۱ حالت اول: توسعه مدل استوار تحلیل پوششی داده‌های شبکه‌ای باز با خروجی‌های غیرقطعی (ورودی-محور)

مدل استوار تحلیل پوششی داده‌های شبکه‌ای باز با خروجی‌های غیرقطعی، هنگامی که نوسان در خروجی‌های نهایی واحدهای تصمیم‌گیری وجود دارد، مورد استفاده قرار می‌گیرد. این حالت زمانی رخ می‌دهد که اندازه‌گیری دقیق خروجی‌ها میسر نمی‌باشد و اندازه واقعی خروجی‌ها، نسبت به مقادیر اندازه‌گیری شده اختلاف دارد. نمونه عملی این حالت را می‌توان در بررسی کارایی تامین‌کننده‌های زنجیره‌تأمین مشاهده نمود.

جهت تدوین مدل استوار تحلیل پوششی داده‌های شبکه‌ای باز، باید توجه نمود که با توجه به وجود

$$\text{محدودیت } 1 = \sum_{i=1}^{I_0} v_{oi} z_{ir}^j + \sum_{p=1}^p \left( \sum_{k=1}^{S_{p-1}} \theta_{p-k} z_{p-k}^{jr} + \sum_{i=1}^{I_p} u_{p-i} z_{p-i}^{jr} \right)$$

سیستم  $(z_{p-i}^{jr}, z_{p-k}^{jr}, z_{ir}^j)$  در نظر گرفت، زیرا در این صورت مدل نشدنی می‌گردد. ولی برای خروجی‌های نهایی سیستم  $(z_{pk}^{jr}, z_{pr}^j)$ ، می‌توان این مفهوم را مدنظر قرار داد و استواری را برای آن‌ها در نظر گرفت. ضمناً با توجه به این که در تابع هدف مدل، داده‌های خروجی وجود دارد، تابع هدف آن نیز دارای عدم قطعیت می‌باشد، برای استوار نمودن این داده‌ها، در مدل شبکه‌ای باز، نیاز است تغییراتی در مدل فوق صورت گیرد. بنابراین تابع هدف به محدودیت‌ها اضافه می‌گردد و مدل به صورت زیر تبدیل می‌شود.

Max  $Z$

$$\begin{aligned}
 \text{s.t. } \quad & Z - \sum_{p=1}^p \left( \sum_{r=1}^{R_p} u_{pr} z_{pr}^{j^1} + \sum_{k=1}^{S_p} D_{pk} z_{pk}^{j^2} \right) \leq 0 \\
 & \left\{ \sum_{i=1}^{I_o} v_{oi} z_{oi}^j + \sum_{p=1}^p \left( \sum_{k=1}^{S_{p-1}} D_{p-k} z_{p-k}^{j^2} + \sum_{i=1}^{I_p} v_{p-i} z_{p-i}^{j^2} \right) \right\} = 1, \\
 & \sum_{r=1}^{R_1} u_{1r} z_{1r}^{j^1} + \sum_{K=1}^{S_1} D_{1k} z_{1k}^{j^2} \leq \sum_{i=1}^{I_o} v_{oi} z_{oi}^j, \\
 & \sum_{r=1}^{R_p} u_{pr} z_{pr}^{j^1} + \sum_{K=1}^{S_p} D_{pk} z_{pk}^{j^2} \leq \sum_{K=1}^{S_{p-1}} D_{p-k} z_{p-k}^{j^2} + \sum_{i=1}^{I_p} v_{p-i} z_{p-i}^{j^2} + \forall j, \\
 & u_{pr}, D_{pk}, v_{pi}, v_{oi} > 0.
 \end{aligned} \tag{5}$$

بر این اساس، مدل استوار تحلیل پوششی داده‌های شبکه‌ای باز با خروجی‌های غیرقطعی به صورت زیر خواهد بود.

Max  $Z$

$$\begin{aligned}
 \text{s.t. } \quad & Z - \sum_{p=1}^p \left( \sum_{r=1}^{R_p} u_{pr} z_{pr}^{j^1} + \sum_{K=1}^{S_p} D_{pk} z_{pk}^{j^2} \right) + \sum_{p=1}^p \left( z_i \Gamma_i + \sum_{r=1}^{R_p} w_{pr} \right) \leq 0 \\
 & z_i + w_{pr} \geq \hat{\alpha}_{pr} u_{pr}, \quad \forall r \\
 & \sum_{i=1}^{I_o} v_{oi} z_{oi}^{j^1} + \sum_{p=1}^p \left( \sum_{K=1}^{S_{p-1}} D_{p-k} z_{p-k}^{j^2} + \sum_{i=1}^{I_p} u_{p-i} z_{p-i}^{j^2} \right) = 1 \\
 & \sum_{r=1}^{R_1} u_{1r} z_{1r}^{j^1} + \sum_{K=1}^{S_1} D_{1k} z_{1k}^{j^2} - \sum_{i=1}^{I_o} v_{oi} z_{oi}^j + \sum_{r=1}^{R_1} w_{1r} + z_i \Gamma_i \leq 0, \quad \forall j \\
 & z_i + w_{1r} \geq \hat{\alpha}_{1r} u_{1r}, \quad \forall r \\
 & u_{pr}, D_{pk}, v_{pi}, v_{oi} > 0, \quad z_i, w_{pr}, z_i, w_{1r}, z_i'' \geq 0.
 \end{aligned} \tag{6}$$

در مدل (۶)، مقدار بهینه متغیر  $Z$ ، کارایی سیستم را نشان می‌دهد. پس از محاسبه سایر متغیرها  $(u_{pr}^*, D_{pk}^*, v_{pi}^*, v_{oi}^*)$ ، میزان کارایی زیرفرآیندها، با جایگذاری این مقادیر در مجموعه موزون خروجی‌ها به ورودی‌ها در هر زیرفرآیند، محاسبه می‌گردد. سایر متغیرها نیز، متغیرهای استواری مدل می‌باشند. متغیر  $\hat{\alpha}$ ، درصد اغتشاش و متغیر  $\Gamma$ ، سطح محافظه کاری را در هر محدودیت تعیین می‌کند. چنانچه  $\Gamma = 0$ ، باشد، هیچ‌گونه محافظه کاری در مقابل انحراف در داده‌ها وجود ندارد و اگر  $\Gamma$ ، برابر تعداد متغیرهای نامطمئن در نظر گرفته شود، بیشترین سطح محافظه کاری لحاظ گردیده است.

## ۴-۲ حالت دوم: توسعه مدل استوار تحلیل پوششی داده‌های شبکه‌ای باز با ورودی‌های غیرقطعی

مدل استوار پرتیس‌ماس و سیم اساساً بر مبنای ایجاد محدودیت در بازه‌ها با استفاده از دو پارامتر درصد اغتشاش و سطح اطمینان عمل می‌کند. یکی از مهم‌ترین محدودیت‌های این گونه مدل‌ها عدم توانمندی در برخورد با محدودیت‌های مساوی می‌باشد و ضروری است برای وجود اغتشاش در خصوص ورودی‌ها نیز تدابیری اتخاذ گردد. یک رویکرد برای این منظور استفاده از مدل‌های خروجی - محور است که در ادامه تشریح شده است. در مدل‌های DEA، راهکار بهبود واحدهای ناکارا، رسیدن به مرز کارایی است. مرز کارایی متشکل از واحدهایی با اندازه کارایی یک، می‌باشد. به طور کلی، دو نوع راهکار برای بهبود واحدهای غیرکارا و رسیدن آن‌ها به مرز کارایی وجود دارد:

الف - کاهش نهاده‌ها، بدون کاهش ستاده‌ها، تا زمان رسیدن به مرز کارایی (این نگرش را ماهیت نهاده‌ای بهبود عملکرد یا سنجش کارایی با ماهیت ورودی - محور می‌نامند).

ب - افزایش ستاده‌ها تا زمان رسیدن به مرز کارایی بدون جذب نهاده‌های بیشتر (این نگرش را ماهیت ستاده‌ای بهبود عملکرد یا سنجش کارایی با ماهیت خروجی - محور می‌نامند).

دیدگاه خروجی - محور، به دنبال دستیابی به نسبتی (نسبت خروجی‌ها به ورودی‌ها) می‌باشد که با مینیمم‌سازی ورودی‌ها و ثابت نگهداشتن میزان خروجی‌ها (خروجی‌ها را برابر یک قرار می‌دهد)، واحد در مرز کارا قرار گیرد. اما دیدگاه ورودی - محور، به دنبال نسبتی است که با ماکزیمم‌سازی خروجی‌ها و ثابت نگهداشتن میزان ورودی‌ها، واحد به مرز کارا برسد.

لذا با توجه به توضیحات ذکر شده، در این مقاله برای رفع این مشکل تابع هدف مدل (۱) را به صورت

$$\text{Min } z = \left\{ \sum_{i=1}^{I_o} v_{oi} z_{oi}^j + \sum_{p=2}^p \left( \sum_{k=1}^{S_{p-1}} d_{p-k} z_{p-k}^{j\gamma} + \sum_{i=1}^{I_p} v_{p-i} z_{p-i}^{j\gamma} \right) \right\}$$

و محدودیت اول را به صورت  $\sum_{p=1}^p \left( \sum_{r=1}^{R_p} u_{pr} z_{pr}^j + \sum_{K=1}^{S_p} d_{pk} z_{pk}^{j\gamma} \right) = 1$

تغییر می‌دهیم. تا این مدل تبدیل به یک مدل خروجی - محور گردد و تابع هدف به صورت محدودیت به مدل اضافه می‌گردد. با توجه به موارد ذکر شده مدل (۱) به فرم مدل (۷) تغییر پیدا می‌کند.

$$\begin{aligned} \text{Min } z \\ \text{s.t. } z - \sum_{i=1}^{I_o} v_{oi} z_{oi}^j - \sum_{p=2}^p \left( \sum_{k=1}^{S_{p-1}} d_{p-k} z_{p-k}^{j\gamma} + \sum_{i=1}^{I_p} v_{p-i} z_{p-i}^{j\gamma} \right) &\leq 0 \\ \sum_{p=1}^p \left( \sum_{r=1}^{R_p} u_{pr} z_{pr}^j + \sum_{K=1}^{S_p} d_{pk} z_{pk}^{j\gamma} \right) &= 1 \\ \sum_{r=1}^{R_1} u_{1r} z_{1r}^j + \sum_{K=1}^{S_1} d_{1k} z_{1k}^{j\gamma} &\leq \sum_{i=1}^{I_o} v_{oi} z_{oi}^j, \\ \sum_{r=1}^{R_p} u_{pr} z_{pr}^j + \sum_{K=1}^{S_p} d_{pk} z_{pk}^{j\gamma} &\leq \sum_{K=1}^{S_{p-1}} d_{p-k} z_{p-k}^{j\gamma} + \sum_{i=1}^{I_p} v_{p-i} z_{p-i}^{j\gamma} + \forall j, \\ u_{pr}, d_{pk}, v_{pi}, v_{oi} &> 0. \end{aligned} \tag{7}$$

لذا مدل توسعه داده شده استوار تحلیل پوششی داده‌های شبکه‌ای باز با ورودی‌های غیرقطعی (خروجی - محور)، عبارت خواهد بود از:

$$\begin{aligned}
 & \text{Min } z \\
 & \text{s.t. } z - \sum_{i=1}^{I_o} v_{oi} z_{oi}^j - \sum_{p=2}^p \left( \sum_{k=1}^{S_{p-1}} D_{p-k} z_{p-k}^{j\gamma} + \sum_{i=1}^{I_p} v_{p-i} z_{p-i}^{j\gamma} \right) + \sum_{i=1}^{I_o} w_{oi} + \sum_{p=2}^p \sum_{i=1}^{I_p} w_{p-i} + z_i \Gamma_i \leq 0 \\
 & z_i + w_{oi} \geq \hat{\alpha}_{oi} v_{oi}; \forall i, \quad z_i + w_{p-i} \geq \hat{\alpha}_{p-i} v_{p-i}; \forall i \\
 & \sum_{p=1}^p \left( \sum_{r=1}^{R_p} u_{pr} z_{pr}^j + \sum_{K=1}^{S_p} D_{pk} z_{pk}^{j\gamma} \right) = 1 \\
 & \sum_{r=1}^{R_i} u_{ir} z_{ir}^j + \sum_{K=1}^{S_i} D_{ik} - \sum_{i=1}^{I_o} v_{oi} z_{oi}^j + \sum_{i=1}^{I_o} w_{oi} + z_i \Gamma_i \leq 0 \tag{۸} \\
 & z_i + w_{oi} \geq \hat{\alpha}_{oi} v_{oi}; \forall i \\
 & \sum_{r=1}^{R_p} u_{pr} z_{pr} + \sum_{K=1}^{S_p} D_{pk} z_{pk}^{j\gamma} - \sum_{K=1}^{S_{p-1}} D_{p-k} z_{p-k}^{j\gamma} - \sum_{i=1}^{I_p} v_{p-i} z_{p-i}^{j\gamma} + \sum_{i=1}^{I_p} w_{p-i} + z_i'' \Gamma_i \leq 0 \\
 & z_i'' + w_{p-i} \geq \hat{\alpha}_{p-i} v_{p-i} \\
 & u_{pr}, D_{pk}, v_{pi}, v_{oi} > 0, \quad z_i, w_{pr}, z_i, w_{ir}, z_i'' \geq 0
 \end{aligned}$$

در مدل (۸)، مقدار بهینه متغیر  $Z$ ، کارایی سیستم را نشان می‌دهد. پس از محاسبه سایر متغیرها  $(u_{pr}^*, D_{pk}^*, v_{pi}^*, v_{oi}^*)$ ، میزان کارایی زیرفرآیندها، با جایگذاری این مقادیر در مجموعه موزن خروجی‌ها به ورودی‌ها در هر زیرفرآیند، محاسبه می‌گردد. سایر متغیرها نیز، متغیرهای استواری مدل می‌باشند. متغیر  $\hat{\alpha}$ ، درصد اغتشاش و متغیر  $\Gamma$ ، سطح محافظه کاری را در هر محدودیت تعیین می‌کند. چنانچه  $\Gamma = 0$ ، باشد، هیچ‌گونه محافظه کاری در مقابل انحراف در داده‌ها وجود ندارد و اگر  $\Gamma$ ، برابر تعداد متغیرهای نامطمئن در نظر گرفته شود، بیشترین سطح محافظه کاری لحاظ گردیده است.

### ۳-۴ حالت سوم: توسعه مدل استوار تحلیل پوششی داده‌های شبکه‌ای باز با ورودی و خروجی غیرقطعی

در مدل‌های پایه‌ای استوار به علت وجود تساوی در محدودیت‌ها، لحاظ نمودن موارد غیرقطعی به متغیرها میسر نیست. لذا برای مواقعی که اغتشاش در کلیه متغیرها وجود دارد، ضروری است تا تغییراتی در مدل اعمال گردد. مدل (۹)، مدل پایه‌ای CCR است.

$$\begin{aligned} & \text{Max} \quad \sum_{r=1}^S u_r y_r / \sum_{i=1}^m v_i x_i \\ & \text{s.t.} \\ & \sum_{r=1}^S \frac{u_r y_{rj}}{\sum_{i=1}^m v_i x_{ij}} \leq 1, j = 1, 2, \dots, n \end{aligned} \quad (9)$$

$$u_r \geq 0, v_i \geq 0.$$

برای شروع استوارسازی، لازم است تابع هدف به محدودیت‌ها اضافه گردد که در روابط (۱۰) مشخص شده است.

$$\begin{aligned} & \text{Max} \quad \Pi \\ & \text{s.t.} \\ & \Pi - \sum_{r=1}^S u_r y_r / \sum_{i=1}^m v_i x_i \leq 0, \end{aligned} \quad (10)$$

$$\sum_{r=1}^S \frac{u_r y_{rj}}{\sum_{i=1}^m v_i x_{ij}} \leq 1, j = 1, 2, \dots, n$$

$$u_r \geq 0, v_i \geq 0.$$

معادل مدل DEA کسری (۱۰)، به صورت مدل (۱۱) است.

$$\begin{aligned} & \text{Max} \quad \Pi \\ & \text{s.t.} \\ & \Pi \sum_{i=1}^m v_i x_i - \sum_{r=1}^S u_r y_r \leq 0, \end{aligned} \quad (11)$$

$$\sum_{r=1}^S u_r y_{rj} - \sum_{i=1}^m v_i x_{ij} \leq 0, j = 1, 2, \dots, n$$

$$u_r \geq 0, v_i \geq 0.$$

به دلیل عدم وجود محدودیت مساوی در مدل (۱۱)، می‌توان ورودی‌ها و خروجی‌ها را به صورت هم‌زمان غیرقطعی در نظر گرفت. نهایتاً با توجه به تغییراتی که در فرم CCR (مدل (۹))، صورت گرفت می‌توان مدل (۱) را به صورت زیر بازنویسی نمود:

$$\begin{aligned} & \text{Max} \quad \Pi \\ & \text{s.t.} \quad \Pi \left\{ \sum_{i=1}^{I_o} v_{oi} z_{oi}^j + \sum_{p=2}^p \left( \sum_{k=1}^{S_{p-1}} \theta_{p-k} z_{p-k}^{j\gamma} + \sum_{i=1}^{I_p} v_{p-i} z_{p-i}^{j\gamma} \right) \right\} - \sum_{p=1}^p \left( \sum_{r=1}^{R_p} u_{pr} z_{pr}^j + \sum_{k=1}^{S_p} \theta_{pk} z_{pk}^{j\gamma} \right) \leq 0. \end{aligned} \quad (12)$$

$$\sum_{r=1}^{R_i} u_{vr} z_{vr}^j + \sum_{k=1}^{S_i} \theta_{vk} z_{vk}^{j\gamma} - \sum_{i=1}^{I_o} v_{oi} z_{oi}^j \leq 0; \forall j$$

$$\sum_{r=1}^{R_p} u_{pr} z_{pr}^j + \sum_{k=1}^{S_p} \theta_{pk} z_{pk}^{j\gamma} - \sum_{k=1}^{S_{p-1}} \theta_{p-k} z_{p-k}^{j\gamma} - \sum_{i=1}^{I_p} v_{p-i} z_{p-i}^{j\gamma} \leq 0; \forall j$$

در مدل (۱۲)، به دلیل عدم وجود محدودیت مساوی، می‌توان ورودی‌ها و خروجی‌ها را به صورت هم‌زمان غیرقطعی در نظر گرفت. با توجه به غیرخطی بودن مدل (۱۲)، مشکل اصلی در مدل استوار که پیچیده‌تر از مدل اصلی می‌باشد، روش حل و پیدا کردن جواب‌های بهینه است. توسعه مدل استوار تحلیل پوششی داده‌های شبکه‌ای باز با ورودی‌ها و خروجی‌های غیرقطعی به صورت مدل زیر خواهد بود:

Max  $\pi$

$$\begin{aligned}
 s.t. \quad & \sum_{p=1}^p \left( \sum_{r=1}^{R_p} u_{pr} z_{pr}^j + \sum_{k=1}^{S_p} D_{pk} z_{pk}^{j\gamma} \right) - \Pi \left\{ \sum_{i=1}^{I_o} v_{oi} z_{oi}^j + \sum_{p=2}^p \left( \sum_{K=1}^{S_{p-1}} D_{p-k} z_{p-k}^{j\gamma} + \sum_{i=1}^{I_p} v_{p-i} z_{p-i}^{j\gamma} \right) \right\} - \sum_{i=1}^{I_o} w_{oi} - \sum_{p=2}^p \left( \sum_{k=1}^{S_{p-1}} w_{p-k} + \sum_{i=1}^{I_p} w_{p-i} \right) - \\
 & \sum_{p=1}^p \left( \sum_{r=1}^{R_p} w_{pr} + \sum_{k=1}^{S_p} w_{pk} \right) - z_i \Gamma_i \geq 0 \\
 & \sum_{p=1}^p \left( \sum_{r=1}^{R_p} u_{pr} z_{pr}^j + \sum_{k=1}^{S_p} D_{pk} z_{pk}^{j\gamma} \right) - \Pi \left\{ \sum_{i=1}^{I_o} v_{oi} z_{oi}^j + \sum_{p=2}^p \left( \sum_{K=1}^{S_{p-1}} D_{p-k} z_{p-k}^{j\gamma} + \sum_{i=1}^{I_p} v_{p-i} z_{p-i}^{j\gamma} \right) \right\} \\
 & \sum_{r=1}^{R_1} u_{1r} z_{1r}^j + \sum_{k=1}^{S_1} D_{1k} z_{1k}^{j\gamma} - \sum_{i=1}^{I_o} v_{oi} z_{oi}^j + \sum_{r=1}^{R_1} w_{1r} + \sum_{K=1}^{S_1} w_{1K} + \sum_{i=1}^{I_o} w_{oi} + z_i \Gamma_i \leq 0; \forall j \\
 & \sum_{r=1}^{R_p} u_{pr} z_{pr}^j + \sum_{k=1}^{S_p} D_{pk} z_{pk}^{j\gamma} - \sum_{k=1}^{S_{p-1}} D_{p-k} z_{p-k}^{j\gamma} - \sum_{i=1}^{I_p} v_{p-i} z_{p-i}^{j\gamma} + \sum_{r=1}^{R_p} w_{pr} + \sum_{K=1}^{S_p} w_{pK} + \sum_{k=1}^{S_{p-1}} w_{p-k} + \sum_{i=1}^{I_p} w_{p-i} + z''_i \Gamma_i \leq 0; \forall j \\
 & z'_i + w_{1r} \geq \hat{\alpha}_{1r} u_{1r}; \forall r \quad z'_i + w_{1k} \geq \hat{\alpha}_{1k} D_{1k}; \forall k \quad z'_i + w_{oi} \geq \hat{\alpha}_{oi} v_{oi}; \forall i \\
 & z''_i + w_{pr} \geq \hat{\alpha}_{pr} u_{pr}; \forall r \quad z''_i + w_{pk} \geq \hat{\alpha}_{pk} D_{pk}; \forall k \quad z''_i + w_{p-k} \geq \hat{\alpha}_{p-k} D_{p-k}; \forall i \\
 & z''_i + w_{p-i} \geq \hat{\alpha}_{p-i} v_{p-i}; \forall i
 \end{aligned} \tag{۱۳}$$

برای نشان دادن کارایی مدل‌های توسعه داده شده مثال‌های عددی زیر ارائه گردیده است.

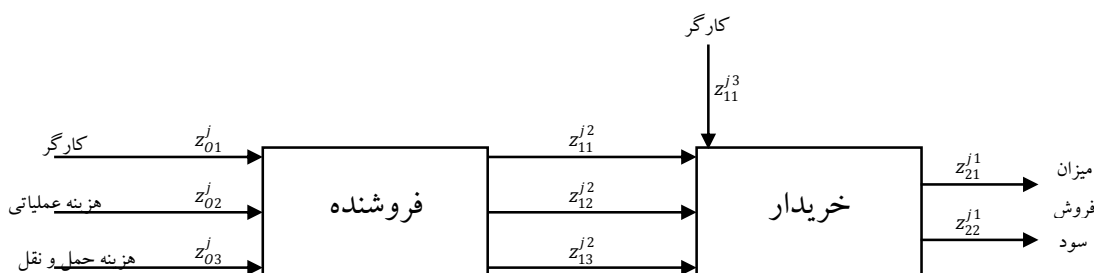
### ۵ مثال‌های عددی

در این مقاله برای به کارگیری مدل، از داده‌های مقاله کوک و همکاران [۶] استفاده شده است. این داده‌ها شامل فرآیند دو مرحله‌ای، فروشنده و خریدار در زنجیره تامین می‌باشد. ورودی‌ها برای مرحله اول (فروشنده) شامل، کارگر ( $Z_{O_1}^j$ )، هزینه عملیاتی ( $Z_{O_2}^j$ ) و هزینه ارسال و حمل و نقل ( $Z_{O_3}^j$ ) و خروجی‌های مرحله اول، تعداد محصول A منتقل شده ( $Z_{11}^{j\gamma}$ )، تعداد محصول B حمل شده ( $Z_{12}^{j\gamma}$ ) و تعداد محصول C حمل شده ( $Z_{13}^{j\gamma}$ ) است. در این داده‌ها فرض شده است همه خروجی‌های مرحله اول به عنوان ورودی وارد مرحله دوم می‌شود. در مرحله دوم (خریدار)، علاوه بر ورودی‌های مرحله قبل، کارگر ( $Z_{11}^{j\gamma}$ )، نیز به عنوان ورودی محسوب می‌گردد و دو خروجی فروش ( $Z_{21}^j$ ) و سود ( $Z_{22}^j$ ) را دارد (شکل شماره ۳)، در جدول ۲، داده‌های مورد استفاده آورده شده است. با فرض وجود عدم قطعیت در متغیرهای خروجی مساله، از مدل استوار ورودی-محور تحلیل پوششی داده‌های

شبکه‌ای باز (مدل (۶)) استفاده گردید. ستون‌های ۹ و ۱۰ جدول ۲، مقادیر اسمی دو متغیر خروجی نهایی (میزان فروش و سود) که غیرقطعی می‌باشند را، نشان می‌دهد.

جدول ۲. داده‌های ورودی و خروجی در مدل تحلیل پوششی داده‌ها

واحد‌ها	کارگر $z_{\cdot 1}^j$	هزینه عملیاتی $z_{\cdot 2}^j$	هزینه حمل و نقل $z_{\cdot 3}^j$	محصول A $z_{11}^{j2}$	محصول B $z_{12}^{j2}$	محصول C $z_{13}^{j2}$	کارگر $z_{11}^{j3}$	فروش $z_{21}^{j1}$	سود $z_{22}^{j1}$
۱	۹	۵۰	۱	۲۰	۱۰	۵	۸	۱۰۰	۲۵
۲	۱۰	۱۸	۱۰	۱۰	۱۵	۷	۱۰	۷۰	۲۰
۳	۹	۳۰	۳	۸	۲۰	۲	۸	۹۶	۳۰
۴	۸	۲۵	۱	۲۰	۲۰	۱۰	۱۰	۸۰	۲۰
۵	۱۰	۴۰	۵	۱۵	۲۰	۵	۱۵	۸۵	۱۵
۶	۷	۳۵	۲	۳۵	۱۰	۵	۵	۹۰	۳۵
۷	۷	۳۰	۳	۱۰	۲۵	۸	۱۰	۱۰۰	۳۰
۸	۱۲	۴۰	۴	۲۰	۲۵	۴	۸	۱۲۰	۱۰
۹	۹	۲۵	۲	۱۰	۱۰	۵	۱۵	۱۱۰	۱۵
۱۰	۱۰	۵۰	۱	۲۰	۱۵	۹	۱۰	۸۰	۲۰



شکل ۳. ساختار شبکه مورد مطالعه

پس از مشخص شدن داده‌های ورودی، این داده‌ها تحت مدل استوار تحلیل پوششی داده‌های شبکه‌ای باز بهینه‌سازی شده است. برای اجرای مدل استوار Opened-Net DEA، مبتنی بر رویکرد برتیس‌ماس و سیم، تعداد متغیرهای خروجی (غیرقطعی)، برابر ۲، است، لذا متغیر  $T$ ، نیز برای تمام محدودیت‌ها برابر ۲، فرض و میزان درصد خطا  $\hat{\alpha}$ ، برای دو متغیر غیرقطعی، مقادیر ۰/۱۰ و ۰/۰۵ منظور گردید.

جدول ۳، نتایج حاصل از اجرای مدل‌های استوار تحلیل پوششی داده‌های شبکه‌ای باز (Robust Opened-Net DEA) با میزان درصد خطای ۰/۰۵ ( $\hat{\alpha} = 0/05$ ) را برای ۱۰ فرآیند دو مرحله‌ای، فروشنده و خریدار در زنجیره تامین، نشان می‌دهد. در ستون‌های ۲ و ۳ جدول ۳، میزان کارایی هر یک از مراحل زنجیره‌تأمین که شامل خریدار و فروشنده می‌باشد، نشان داده شده است، همچنین کارایی کل و رتبه واحد تصمیم‌گیری، به ترتیب در ستون‌های ۴ و ۵ جدول ۳، قابل مشاهده می‌باشد.

جدول ۳. نتایج مدل استوار تحلیل پوششی داده‌های شبکه‌ای باز ( $\hat{\alpha} = 0/0$ )

رتبه	کارایی کل	کارایی مرحله خریدار	کارایی مرحله فروشنده	واحدهای تصمیم‌گیری
۳	۰/۸۵۹	۰/۹۸۱	۰/۷۱۴	۱
۵	۰/۸۳۸	۰/۷۶۹	۰/۸۹۱	۲
۶	۰/۷۹۷	۰/۸۶۹	۰/۵۵۱	۳
۷	۰/۷۴۸	۰/۵۲۹	۰/۹۵۱	۴
۱۰	۰/۵۹۱	۰/۵۵۷	۰/۶۵۰	۵
۱	۰/۹۵۲	۰/۹۹۱	۰/۹۳۲	۶
۲	۰/۸۶۶	۰/۷۴۳	۰/۹۸۸	۷
۴	۰/۸۵۴	۰/۹۱۲	۰/۶۵۸	۸
۸	۰/۷۲۷	۰/۸۰۳	۰/۴۸۹	۹
۹	۰/۷۲۶	۰/۶۳۴	۰/۷۳۳	۱۰
	۰/۷۹۶	۰/۷۷۹	۰/۷۵۶	میانگین

جدول ۴، نتایج حاصل از اجرای مدل‌های استوار تحلیل پوششی داده‌های شبکه‌ای باز (Robust Opened-Net DEA) با میزان درصد خطای ۰/۱ ( $\hat{\alpha} = 0/1$ ) را برای ۱۰ فرآیند دو مرحله‌ای، فروشنده و خریدار در زنجیره تامین، نشان می‌دهد. در ستون‌های ۲ و ۳ جدول ۴، میزان کارایی هر یک از مراحل زنجیره تامین که شامل خریدار و فروشنده می‌باشد، نشان داده شده است، همچنین کارایی کل و رتبه واحد تصمیم‌گیری، به ترتیب در ستون‌های ۴ و ۵ جدول ۴، قابل مشاهده می‌باشد.

جدول ۴. نتایج مدل استوار تحلیل پوششی داده‌های شبکه‌ای باز ( $\hat{\alpha} = 0/1$ )

رتبه	کارایی کل	کارایی مرحله خریدار	کارایی مرحله فروشنده	واحدهای تصمیم‌گیری
۴	۰/۷۹۹	۰/۹۵۱	۰/۷۰۱	۱
۳	۰/۸۰۳	۰/۷۳۲	۰/۸۳۲	۲
۶	۰/۷۴۶	۰/۸۲۱	۰/۵۳۱	۳
۷	۰/۷۲۴	۰/۵۰۱	۰/۹۱۰	۴
۱۰	۰/۵۶۹	۰/۵۲۷	۰/۶۳۱	۵
۱	۰/۹۰۸	۰/۹۳۱	۰/۸۷۰	۶
۲	۰/۸۳۱	۰/۷۰۲	۰/۹۳۱	۷
۵	۰/۷۹۱	۰/۹۰۱	۰/۵۹۸	۸
۹	۰/۶۷۹	۰/۸۷۱	۰/۴۶۲	۹
۸	۰/۷۰۰	۰/۶۰۱	۰/۷۲۰	۱۰
	۰/۷۵۵	۰/۷۵۴	۰/۷۱۹	میانگین

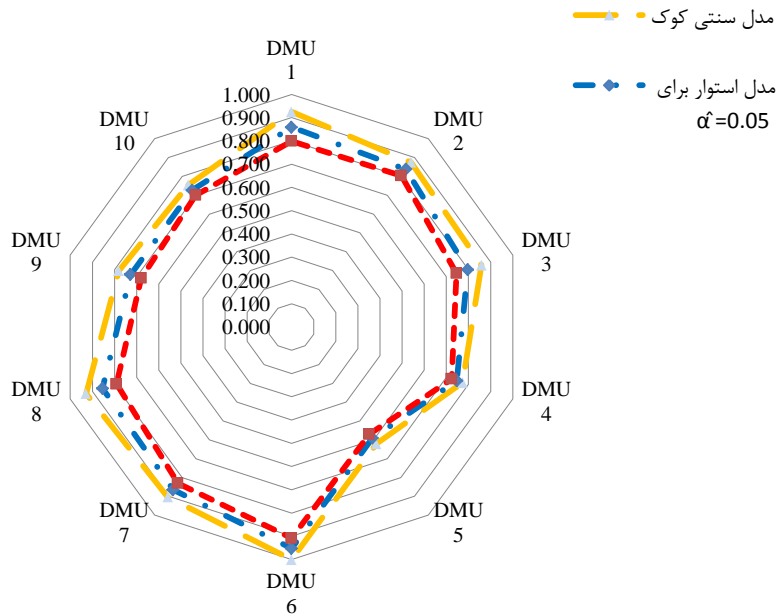
نتایج حاصل از اجرای مدل استوار Opened-Net DEA، مبتنی بر رویکرد برتسماس و سیم، نشان می‌دهد (جدول ۳ و ۴)، با افزایش میزان انحراف در داده‌های غیرقطعی، از ۰/۰۵ به ۰/۱، میانگین کارایی کل از ۰/۷۹۵ به ۰/۷۵۵ (ستون ۴ جدول ۳ و ۴) و نمره کارایی هر واحد تصمیم‌گیری و مراحل تشکیل‌دهنده آن، کاهش می‌یابد.

جدول ۵، نتایج حاصل از اجرای مدل تحلیل پوششی داده‌های شبکه‌ای باز (Opened-Net DEA) و مدل‌های استوار تحلیل پوششی داده‌های شبکه‌ای باز (Robust Opened-Net DEA) را برای ۱۰ فرآیند دو مرحله‌ای، فروشنده و خریدار در زنجیره تامین، نشان می‌دهد. همان‌طور که در ستون چهارم این جدول نشان داده شده است، از نظر کارایی محاسبه شده در مدل شبکه‌ای DEA باز، فقط واحد تصمیم‌گیری ۶، نمره کارایی برابر با یک کسب نموده است. سایر واحدهای تصمیم‌گیری نمرات کارایی بین ۰/۶۲ (واحد تصمیم‌گیری ۵) و ۰/۹۲۸۸ (واحد تصمیم‌گیری ۸) دارد. با استفاده از مدل شبکه‌ای DEA باز و بدون در نظر گرفتن نوسان (عدم قطعیت) در داده‌ها، میانگین کارایی کل واحدهای تصمیم‌گیری، ۰/۸۲۲ است.

جدول ۵. نتایج مدل استوار تحلیل پوششی داده‌های شبکه‌ای باز و مدل سنتی

واحدهای تصمیم‌گیری	مدل استوار DEA شبکه‌ای باز ( $\hat{\alpha} = 0/05$ )	مدل استوار DEA شبکه‌ای باز ( $\hat{\alpha} = 0/1$ )	مدل DEA شبکه‌ای باز
۱	۰/۸۵۹	۰/۷۹۹	۰/۹۲۴
۲	۰/۸۳۷	۰/۸۰۳	۰/۸۷۵
۳	۰/۷۹۶	۰/۷۴۶	۰/۸۵۸
۴	۰/۷۴۷	۰/۷۲۴	۰/۷۷۳
۵	۰/۵۹۱	۰/۵۶۹	۰/۶۲۰
۶	۰/۹۵۲	۰/۹۰۸	1
۷	۰/۸۶۵	۰/۸۳۰	۰/۹۰۴
۸	۰/۸۵۴	۰/۷۹۱	۰/۹۲۸
۹	۰/۷۲۷	۰/۶۷۸	۰/۷۸۰
۱۰	۰/۷۲۶	۰/۷۰۰	۰/۷۵۴
میانگین	۰/۷۹۵	۰/۷۵۵	۰/۸۴۲

نکته دیگر این که سطح انحراف در متغیرها، رابطه مستقیم با کاهش سطح کارایی واحدهای تصمیم‌گیری و زیرفرآیندهای آن‌ها دارد. به این مفهوم که سطح کارایی واحدها در حالتی که میزان انحراف ۰/۱ می‌باشد، نسبت به موقعی که میزان انحراف ۰/۰۵ است، کاهش چشم‌گیرتری دارد. شکل ۴، تغییرات سطوح کارایی واحدهای تصمیم‌گیری را به صورت گرافیکی نشان می‌دهد.



شکل ۴. کارایی واحدهای تصمیم‌گیری مختلف

همان‌طور که در شکل ۴ مشاهده می‌شود در تمامی واحدهای تصمیم‌گیری، کم‌ترین رتبه کارایی در حالت مدل استوار با میزان درصد خطای ۱۰ درصدی حاصل شده است. همچنین، حالت قطعی، بیشترین مقدار کارایی را نشان داده است. لذا بررسی کارایی واحدهای تصمیم‌گیری در شرایط مختلف نوسانات داده‌های مورد استفاده، نشان می‌دهد که هرچقدر دامنه این نوسان بیشتر باشد، امتیاز کارایی واحدهای مختلف کاهش پیدا می‌کند. برای مقایسه درجات کارایی حاصل از مدل‌های استوار پیشنهادی با مدل شبکه‌ای باز، از ضریب همبستگی پیرسون ( $\rho$ )، استفاده شده است. این آزمون، میزان همبستگی خطی بین دو متغیر تصادفی را می‌سنجد. مقدار این ضریب بین -۱ تا ۱ تغییر می‌کند، که ۱، به معنای همبستگی مثبت کامل، ۰، به معنی نبود همبستگی، و -۱، به معنی همبستگی منفی کامل است. جدول ۶، نتایج آزمون پیرسون مدل‌های استوار پیشنهادی و مدل شبکه‌ای باز، را نشان می‌دهد.

جدول ۶. ضریب همبستگی پیرسون برای مدل‌های مختلف

	مدل استوار DEA شبکه‌ای باز ( $\hat{\alpha} = 0/1$ )	مدل استوار DEA شبکه‌ای باز ( $\hat{\alpha} = 0/0.5$ )
مدل DEA شبکه‌ای باز	۰/۹۴۶	۰/۹۸۹

میزان آزمون پیرسون برای مدل Robust Opened-Net DEA و مدل DEA شبکه‌ای باز، در انحراف ۰/۰۵ و ۰/۱، به ترتیب، ۰/۹۸۹ و ۰/۹۴۶ است. نتیجه حاکی از وجود رابطه مستقیمی بین مدل شبکه‌ای باز و مدل‌های استوار پیشنهادی، می‌باشد. لذا فرض  $H_0$ ، در سطح ۰/۱، رد می‌شود.

با توجه به محدودیت‌های جدید در مدل‌های استوار، تعداد واحدهای با کارایی یک، کمتر از مدل سنتی شبکه‌ای باز می‌باشد و در نتیجه قدرت تفکیک‌پذیری میزان کارایی‌های به دست آمده از مدل، ارتقا می‌یابد. این بدان معنی است که در مدل‌های استوار پیشنهادی، نیاز به استفاده از مدل‌های ابر کارایی کمتر می‌باشد.

### ۵-۱ اعتبارسنجی نتایج به دست آمده

جهت سنجش میزان اعتبار مدل، آزمونی به شرح زیر طراحی و اجرا گردیده است. با هدف ایجاد اغتشاش در متغیرهای غیرقطعی مثال عددی (میزان فروش و سود)، بدون پیش فرضی در خصوص تابع چگالی متغیرها، به صورت کاملاً تصادفی این متغیرها، بین ۱۰ تا ۱۰- درصد تغییر داده شده است. در واقع متغیرهای غیرقطعی مثال عددی، حداکثر تا میزان ۱۰ درصد قابلیت افزایش و حداقل نیز تا میزان ۱۰ درصد قابلیت کاهش دارند. جدول ۷، میزان اصلاح شده متغیرهای مذکور را نشان می‌دهد. اساساً مهم‌ترین مزیت مدل‌های استوار نسبت به سایر مدل‌ها، این است که در این مدل‌ها، هیچ گونه اطلاعاتی در خصوص رفتار متغیرهای اغتشاش‌گر وجود ندارد و مدل‌ها بر مبنای همین فرض توسعه یافته‌اند.

جدول ۷. اطلاعات واحدهای تصمیم‌گیری در شرایط نوسان خروجی‌های مرحله دوم

واحد	کارگر	سود	فروش	C محصول	B محصول	A محصول	هزینه حمل و نقل و هزینه عملیاتی	کارگر	
$Z_{i1}^j$	$Z_{i2}^j$	$Z_{i3}^j$	$Z_{i1}^{j2}$	$Z_{i2}^{j2}$	$Z_{i3}^{j2}$	$Z_{i1}^{j2}$	$Z_{i2}^{j2}$	$Z_{i3}^{j2}$	
۱	۹	۵۰	۱	۲۰	۱۰	۵	۸	۱۰۳	۲۴
۲	۱۰	۱۸	۱۰	۱۰	۱۵	۷	۱۰	۷۲/۱	۱۸
۳	۹	۳۰	۳	۸	۲۰	۲	۸	۱۰۳/۶	۲۷
۴	۸	۲۵	۱	۲۰	۲۰	۱۰	۱۰	۸۰	۱۹
۵	۱۰	۴۰	۵	۱۵	۲۰	۵	۱۵	۷۹/۹	۱۵/۷
۶	۷	۳۵	۲	۳۵	۱۰	۵	۵	۹۳/۶	۳۱/۵
۷	۷	۳۰	۳	۱۰	۲۵	۸	۱۰	۹۳	۳۰/۳
۸	۱۲	۴۰	۴	۲۰	۲۵	۴	۸	۱۳۰/۸	۱۰/۳
۹	۹	۲۵	۲	۱۰	۱۰	۵	۱۵	۱۰۲/۳	۱۶/۳
۱۰	۱۰	۵۰	۱	۲۰	۱۵	۹	۱۰	۸۰	۱۹/۶

نتایج حاصل از این آزمایش در جدول ۸، نشان داده شده است. ستون سوم این جدول، کارایی واحدهای تصمیم‌گیری با اجرای مدل استوار Opened-Net DEA، بر روی داده‌های تغییر کرده (مبتنی بر آزمایش طراحی شده) است. نتایج اجرای مدل‌های سنتی شبکه‌ای (ستون‌های ۶ و ۷ جدول ۸)، در مقابل انحرافات حساسیت بیشتری نسبت به مدل‌های استوار از خود نشان می‌دهند به طوری که میانگین قدرمطلق میزان تغییرات کارایی واحدهای تصمیم‌گیری در مدل سنتی تحلیل پوششی داده‌های شبکه‌ای باز، ۲/۰۲ درصد (ستون ۷ جدول ۸) است. در حالی که این میانگین برای مدل استوار تحلیل پوششی داده‌های شبکه‌ای باز ۰/۶۹ درصد (ستون ۵ جدول ۸)

می‌باشد که این عدد نسبت به مدل سنتی، کاهش چشم‌گیری نشان می‌دهد. ضمن این‌که رتبه واحدهای تصمیم‌گیری نیز در مدل‌های استوار تغییرات کمتری، نسبت به مدل‌های سنتی دارد.

جدول ۸. نتایج با میزان نوسان ۱۰ درصدی در متغیرهای غیرقطعی

واحدها	مدل استوار ( $\hat{\alpha} = 0/1$ )	مدل استوار با انحراف در داده‌ها ( $\hat{\alpha} = 0/1$ )	درصد انحراف	مدل سنتی	مدل سنتی با انحراف در داده‌ها	درصد انحراف
۱	۰/۷۹۹	۰/۷۹۵	-۰/۴۱۳	۰/۹۲۴	۰/۹۳۲	۰/۷۶۳
۲	۰/۸۰۳	۰/۸۱۱	۰/۹۶۷	۰/۸۷۵	۰/۸۷۹	۰/۵۴۹
۳	۰/۷۴۶	۰/۷۵۱	۰/۶۹۳	۰/۸۵۸	۰/۸۵۰	-۰/۹۳۷
۴	۰/۷۲۴	۰/۷۲۸	۰/۵۵۶	۰/۷۷۳	۰/۸۱۱	۴/۹۲۴
۵	۰/۵۶۹	۰/۵۷۷	۱/۳۲۴	۰/۶۲۰	۰/۶۱۰	-۱/۶۲۹
۶	۰/۸۳۰	۰/۹۰۹	۰/۰۷۵	۰/۹۰۴	۰/۹۹۱	-۰/۸۴۵
۷	۰/۸۳۰	۰/۸۴۰	۱/۱۶۸	۰/۹۰۴	۰/۹۲۱	۱/۹۵۷
۸	۰/۷۹۱	۰/۷۸۸	-۰/۳۹۲	۰/۹۲۸	۰/۹۰۱	-۲/۹۹۰
۹	۰/۶۷۸	۰/۶۸۵	۰/۹۶۱	۰/۷۸۰	۰/۷۹۲	۱/۵۴۷
۱۰	۰/۷۰۰	۰/۷۰۲	۰/۳۴۹	۰/۷۵۴	۰/۷۸۴	۴/۰۴۷
میانگین قدر مطلق درصد انحراف			۰/۶۹۰			۲/۰۱۹

## ۶ نتیجه‌گیری

در دنیای واقعی، اغلب داده‌ها، دارای عدم قطعیت می‌باشند. در این مطالعه، چارچوبی برای ارزیابی کارایی واحدهای تصمیم‌گیری با ساختار شبکه‌ای باز، تحت عدم قطعیت در داده‌ها، مبتنی بر رویکرد برتیس‌ماس و سیم، ارائه گردیده است. مطابق جدول ۵، در مدل‌های استوار بر مبنای روش برتیس‌ماس و سیم، کاهش سطوح کارایی واحدهای تصمیم‌گیری مشاهده می‌گردد. با افزایش میزان خطا در سنجش پارامترها، میزان کاهش سطوح کارایی، بیشتر خواهد شد. نکته مهم در خصوص مقایسه مدل‌های سنتی DEA شبکه‌ای باز و مدل‌های استوار، این است که نتایج مدل‌های سنتی در مقابل انحرافات حساسیت بیشتری نسبت به مدل‌های استوار از خود نشان می‌دهد. به طوری که میانگین قدرمطلق میزان تغییرات کارایی واحدهای تصمیم‌گیری در مدل سنتی تحلیل پوششی داده‌های شبکه‌ای باز، ۲/۰۲ درصد است. در حالی که این میانگین برای مدل استوار تحلیل پوششی داده‌های شبکه‌ای باز ۰/۶۹ درصد می‌باشد که این عدد نسبت به مدل سنتی، کاهش چشم‌گیری نشان می‌دهد.

ضمن این‌که رتبه واحدهای تصمیم‌گیری نیز در مدل‌های استوار تغییرات کمتری نسبت به مدل‌های سنتی دارد. لازم به ذکر است با توجه به سخت‌گیرانه‌تر شدن محدودیت‌ها در مدل استوار تحلیل پوششی داده‌های شبکه‌ای باز و در نتیجه کاهش میانگین سطوح کارایی در این مدل، تعداد واحدهای روی مرز کارایی کمتر و در نتیجه نیازی به استفاده از مدل‌های ابرکارا برای ارزیابی مجدد، واحدهای کارا نمی‌باشد. به عبارتی می‌توان گفت قدرت تفکیک‌پذیری مدل در روش استوار ارتقا یافته است. از روش پیشنهادی در این مقاله می‌توان جهت ارزیابی کارایی واحدهای تصمیم‌گیری دیگر مانند، بانک‌ها، شرکت‌های برق منطقه‌ای، دانشگاه‌ها و ... استفاده نمود.

روش ارایه شده در این مقاله با فرض ثابت بودن بازده به مقیاس می‌باشد، تحقیقات آتی با فرض متغیر بودن بازده به مقیاس، قابل بررسی است، همچنین می‌توان مدل استوار شبکه‌های ترکیبی باز را توسعه داد و یا در مدل ارایه شده در این مقاله، خروجی‌های نامطلوب را در نظر گرفت و مدلی جدید مطرح نمود.

## منابع

- [1] Fare, R., S. Grosskopf., (2000). Network DEA, Socio-Economic Planning Sciences. 32, 23-40.
- [2] Liang, L., Yang, F., (2006). DEA models for supply chain efficiency evaluation. *Annals of Operations Research*, 145(1). 35-49.
- [3] Chen, C. and H. Yan, (2011). Network DEA model for supply chain performance evaluation. *European journal of operational research*, 213(1). 147-155.
- [4] Ebrahimnejad, A. Tavana, M. Hoseinzadeye lotfi, F. (2014). A three-stage data envelopment analysis model with application to banking industry. *Measurement*, 49. 308-319.
- [5] Kao, C., (2014). Efficiency decomposition for general multi-stage systems in data envelopment analysis. *European Journal of Operational Research*, 232(1). 117-124.
- [6] Cook, W.D., Zhou, J., Bi, G., (2010). Network DEA: Additive efficiency decomposition. *European journal of operational research*, 207(2). 1122-1129.
- [7] Lee, C.-Y., and A.L. Johnson., (2012). Two-dimensional efficiency decomposition to measure the demand effect in productivity analysis. *European Journal of Operational Research*, 216(3). 584-593.
- [8] Cooper, W.W., (2004), Chance constrained programming approaches to congestion in stochastic data envelopment analysis. *European Journal of Operational Research*, 155(2). 487-501.
- [9] Wang, Y.-M., R. Greatbanks., and J.-B. Yang., (2005). Interval efficiency assessment using data envelopment analysis. *Fuzzy sets and Systems*, 153(3). 347-370.
- [10] Hatami-Marbini, A., A. Emrouznejad, and M. Tavana, (2011). A taxonomy and review of the fuzzy data envelopment analysis literature: two decades in the making. *European journal of operational research*, 214(3). 457-472.
- [11] Peykani, P., Mohammadi, E., Emrouznejad, A., Pishvaei, M.S., Rostamy-Malkhalifeh, M., (2019). Fuzzy data envelopment analysis: an adjustable approach. *Expert Systems with Applications*, 136. 439-452.
- [12] Soyster, A.L., (1973). Convex programming with set-inclusive constraints and applications to inexact linear programming. *Operations research*, 1973. 21(5). 1154-1157.
- [13] Ben-Tal, A. and A. Nemirovski, (2001). *Lectures on modern convex optimization: analysis, algorithms, and engineering applications*. 2. 24-37.
- [14] Bertsimas, D. and M. Sim, (2004). The price of robustness. *Operations research*, 52(1). 35-53.
- [15] Nouri, J., Lotfi, H., (2013). An analysis of the implementation of energy efficiency measures in the vegetable oil industry of Iran: a data envelopment analysis approach. *Journal of Cleaner Production*, 52. 84-93.
- [16] Tsutsui, M. and M. Goto, (2009). A multi-division efficiency evaluation of US electric power companies using a weighted slacks-based measure. *Socio-Economic Planning Sciences*, 43(3). 201-208.
- [17] Bi, G., Feng, N., Diang, F., (2012). Estimating relative efficiency of DMU: Pareto principle and Monte Carlo oriented DEA approach. *INFOR: Information Systems and Operational Research*, 50(1). 44-57.
- [18] Sadjadi, S.J., Omrani, H. Makouei, A. (2011). An interactive robust data envelopment analysis model for determining alternative targets in Iranian electricity distribution companies. *Expert Systems with Applications*, 38(8). 9830-9839.
- [19] Shokouhi, A.H., Tavana, M., (2010). A robust optimization approach for imprecise data envelopment analysis. *Computers & Industrial Engineering*, 59(3). 387-397.
- [20] Omrani, H., F. Adabi, and N. Adabi, (2017). Designing an efficient supply chain network with uncertain data: a robust optimization—data envelopment analysis approach. *Journal of the Operational Research Society*, 68(7). 816-828.
- [21] Zu, T., M. Wen, and R. Kang, (2017). An optimal evaluating method for uncertainty metrics in reliability based on uncertain data envelopment analysis. *Microelectronics Reliability*, 75. 283-287.
- [22] Lio, W. and B. Liu, (2018). Uncertain data envelopment analysis with imprecisely observed inputs and outputs. *Fuzzy Optimization and Decision Making*, 17(3). 357-373.

- [23] Aghayi, N. and M.A. Raayatpanah,(2019). A robust optimization approach to overall profit efficiency with data uncertainty: application on bank industry. *Journal of the Chinese Institute of Engineers*, 42(2). 160-168.
- [24] Shakouri, R. Salehi, M. Kordrostami, S. (2019). Stochastic p-robust approach to two-stage network DEA model. *Quantitative Finance and Economics*, 3(2): 315-346
- [25] Hu, W., Guo, Y., Tian, J., Chen, L., (2019). Eco-efficiency of centralized wastewater treatment plants in industrial parks: A slack-based data envelopment analysis. *Resources, Conservation and Recycling*, 141. 176-186.
- [26] Cavone, G., Epicoco, N., Morelli, M., Dotoli, M., (2020). Design of Modern Supply Chain Networks Using Fuzzy Bargaining Game and Data Envelopment Analysis. *IEEE Transactions on Automation Science and Engineering*, 45(3). 27-45.
- [27] Shamsi Jamkhane, A., Rahmani Parchakalayi, B., Hosseinzadeh Lotfi, F., Haji Molana, M., (2018). Measuring the efficiency and performance of the supply chain with a three-stage structure using network data envelopment analysis. *Journal of Operational Research and Its Applications*, 67(4). 99-116.
- [28] Amirteimouri, H., Amirteimouri, A., Karbasian, M., (2018). Analysis of efficiency and ranking of provincial gas companies with the presence of undesirable indicators. *Journal of Operational Research and Its Applications*, 65(2). 1-8.
- [29] De, D., Chowdhury, S. KumarDey, P. Ghosh, S. (2020). Impact of lean and sustainability oriented innovation on sustainability performance of small and medium sized enterprises: a data envelopment analysis-based framework. *International Journal of Production Economics*,. 219. 416-430.
- [30] Álvarez-Rodríguez, C., M. Martín-Gamboa, and D. Iribarren, (2020). Sustainability-oriented efficiency of retail supply chains: A combination of Life Cycle Assessment and dynamic network Data Envelopment Analysis. *Science of the Total Environment*,. 705. 135977.